



引文格式: 刘江, 罗彦军, 范堡程, 等. 塔吉克斯坦南帕米尔阿里秋(Alichur)穹隆花岗岩锆石U-Pb定年、Hf同位素特征及地质意义[J]. 西北地质, 2024, 57(6): 290–299. DOI: 10.12401/j.nwg.2024027

Citation: LIU Jiang, LUO Yanjun, FAN Baocheng, et al. U-Pb Dating, Hf-isotopic Characteristics and Tectonic Implications of Granite, Alichur Dome, Southern Pamir, Tajikistan[J]. Northwestern Geology, 2024, 57(6): 290–299. DOI: 10.12401/j.nwg.2024027

## 塔吉克斯坦南帕米尔阿里秋(Alichur)穹隆花岗岩锆石U-Pb定年、Hf同位素特征及地质意义

刘江<sup>1</sup>, 罗彦军<sup>1</sup>, 范堡程<sup>1</sup>, Mustafo Gadoev<sup>2</sup>

(1. 中国地质调查局西安地质调查中心, 陕西 西安 710119; 2. 塔吉克斯坦国家科学院,  
地质、地震工程与地震学研究所, 塔吉克斯坦 杜尚别 734063)

**摘要:** 南帕米尔地区分布一系列受拆离断层控制, 于印度-欧亚大陆碰撞过程中形成的穹隆构造, 穹隆核部以晚中生代花岗岩和高级变质岩为主, 并有少量新生代花岗质侵入岩。为阐明穹隆有关花岗岩的侵位背景和构造意义, 笔者通过LA-MC-ICP锆石U-Pb定年测试获得侵位到穹隆拆离断层韧性剪切带中的花岗岩和占穹隆体积主体的核部白垩纪花岗岩年龄, 分别为( $19.3\pm0.4$ )Ma和( $111.7\pm0.8$ )Ma。结合帕米尔地区和南帕米尔穹隆构造已有研究成果, 笔者认为锆石Hf同位素特征反映南帕米尔地区晚中生代花岗岩是含有亏损地壳熔融作用的结果。新生代花岗岩形成于构造减压导致的中下地壳部分熔融作用, 宏观上可能形成于印度板块碰撞俯冲过程中的减速调整阶段。

中图分类号: P581

文献标志码: A

文章编号: 1009-6248(2024)06-0290-10

### U-Pb Dating, Hf-isotopic Characteristics and Tectonic Implications of Granite, Alichur Dome, Southern Pamir, Tajikistan

LIU Jiang<sup>1</sup>, LUO Yanjun<sup>1</sup>, FAN Baocheng<sup>1</sup>, Mustafo Gadoev<sup>2</sup>

(1. Xi'an Center of China Geological Survey, Xi'an 710119, Shaanxi, China; 2. Institute of Geology, Earthquake Engineering and Seismology, National Academy of Sciences of Tajikistan, Dushanbe 734063, Tajikistan)

**Abstract:** Cenozoic domes separated by detachments and formed during the India-Eurasian collision, are commonly distributed in the southern Pamir. The core complex of these domes are made up of high-grade metamorphic rocks and granite. The granite mainly formed during the Late Mesozoic and minor of them formed during the Cenozoic. The granite samples gathered along the detachments and from the granite comprising the bulk Alichur dome are measured by on the LA-MC-ICP U-Pb zircon dating. The formation times of the granite are ( $19.30\pm0.36$ ) Ma and ( $111.7\pm0.8$ ) Ma. Hf-isotopic characteristics of zircon demonstrate the granite formed by partial melting of crust. The Cenozoic granite is probably closely associated with the structural decompression caused by the extensional decollement of the domes.

收稿日期: 2022-09-14; 修回日期: 2023-12-14; 责任编辑: 吕鹏瑞

基金项目: 中国地质调查局项目“丝绸之路境内段(新疆)资源环境承载能力监测评价项目”(DD20221731), 第三次新疆综合科学考察项目“塔里木河流域关键区生态适宜性评估及绿色发展建议”(2022xjkk0305), 国家重点研发计划项目课题“中亚成矿域战略性矿产信息及成矿规律”(2021YFC2901802)联合资助。

作者简介: 刘江(1985-), 男, 博士, 副研究员, 主要从事构造地质研究。E-mail: liujiang689@163.com。

喜马拉雅山以西的帕米尔地区,即通常称为西构造的地区,分布有一系列新生代同挤压穹隆构造,包括北帕米尔木孜塔格(Muztag-Ata)穹隆,中帕米尔雅兹古鲁姆(Yazgulom)、色雷兹(Serez)、慕斯库尔(Muskol)、沙巴(Shatput)穹隆,南帕米尔沙赫达拉(Shahdara)和阿里秋(Alichur)穹隆(图1)。其中,木孜塔格、沙赫达拉和阿里秋等3个穹隆受拆离断层控制特征明显。但是,这些穹隆与北喜马拉雅片麻岩穹隆构造相同,但不同于美国西部盆岭省和中国东部发

育的变质核杂岩,后者也被称为科迪勒拉型穹隆构造,是在伸展的大地构造背景下出现的。

20世纪中期,前苏联对帕米尔地区进行了1:20万地质填图,对帕米尔南部穹隆构造的岩性、构造特征进行了清晰的表达,但由于地质学认识程度和年代学测试方法的限值,并没有填出注入到韧性剪切带中的花岗岩,而且仅将穹隆核部花岗岩统一定为白垩纪。始于上世纪90年代,在德国科学家组织实施的“塔吉克斯坦帕米尔地区和天山地区实施的天山-帕米尔

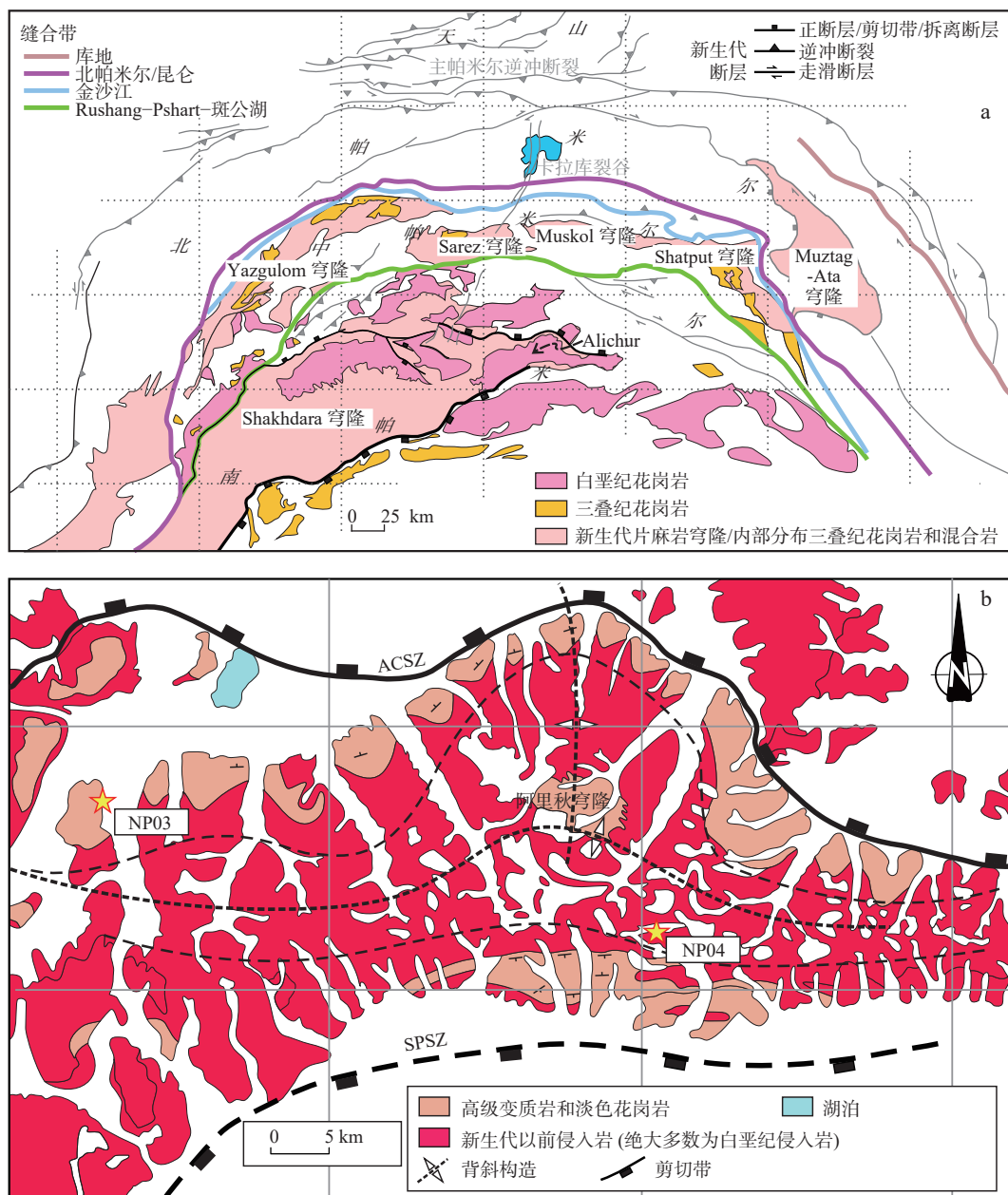


图1 帕米尔地区构造地质简图(a)和Alichur穹隆构造地质图(b)(据 Stübner et al., 2013b 修改)

Fig. 1 (a) Geological sketch of Pamir and (b) the geological map of Alichur dome

“地球动力学计划”(Tien Shan-PAmir GEodynamic Program, TIPAGE)资助下,德国和美国科学家为主的科研团队在帕米尔地区开展了系列研究工作,对南帕米尔沙赫达拉-阿里秋片麻岩穹隆的进行了系统的构造地质和剥露过程研究,并初步探讨了穹隆核部和侵位到韧性剪切带中的花岗岩的岩浆演化和出露过程([Stübner et al., 2013a, 2013b](#))。

2012年以来,中国地质调查局西安地质调查中心与塔吉克斯坦地质总局塔吉克斯坦帕米尔地区联合开展了系列地质调查及相关研究工作([吕鹏瑞等, 2017; 洪俊等, 2017; 范堡程等, 2017, 2020, 2022; 张海迪等, 2019](#)),笔者对穹隆构造进行了考察,并采集了白垩纪花岗岩和侵位到韧性剪切带内的新生代花岗岩的典型样品。结合帕米尔地区已有研究成果,基于花岗岩锆石U-Pb年龄和原位Hf同位素分析的工作手段,阐述穹隆有关的两期花岗岩物质来源,并讨论其对应的大地构造背景。

## 1 地质背景

### 1.1 帕米尔总体构造地质背景

帕米尔在地貌和地质上分别是喜马拉雅山系和喜马拉雅造山带的西延部分,也被称作西构造结,现今地貌特征则是新生代印度板块向欧亚板块挤压、隆升的结果([Tappognier et al., 1981](#)),与西藏的地壳厚度相当。帕米尔北缘主帕米尔逆冲断层向北推覆,覆盖在塔吉克东北和塔里木盆地沉积之上,东部和西部的分别以喀喇昆仑断裂和达儿瓦兹断裂为界,两条断裂分别以右旋和左旋走滑剪切为主。以古生代至中生代的缝合带、岩浆带和微陆块认识为基础,帕米尔从南往北又可划分为不同的构造单元([图 1a](#))。中帕米尔和南帕米尔以多个穹隆为中心,周围环绕古生代—新生代火山—沉积岩石和中生代岛弧相关岩体。穹隆构造以断层为边界,核部岩石类型主要为花岗闪长岩、正片麻岩和负片麻岩、片岩、大理岩和角闪岩。其中,阿里秋穹隆即位于南帕米尔中部([图 1b](#))。

### 1.2 阿里秋穹隆

南帕米尔结晶岩为太古代—元古代混合岩化的负片麻岩和正片麻岩。结晶岩构造上发育两个新生代穹隆区,分别是 $\sim 250 \times 90$  km 的沙赫达拉穹隆([Shakh dara](#))和 $\sim 125 \times 25$  km 的阿里秋穹隆([Alichur](#))穹隆([图 1b](#))。沿沙赫达拉穹隆和阿里秋南缘发育的南

帕米尔剪切带(South Pamir Shear Zone),上盘向 SSE运动,伸展断层,大致沿塔吉克斯坦-阿富汗边界的瓦罕走廊展布,其剪切带下盘受剥蚀自深度 30~40 km 层位出露([Schmidt et al., 2011](#))。

阿里秋穹隆主体为白垩纪长英质正片麻岩/花岗闪长岩,曾遭受低温变质的重结晶作用,并发育伟晶岩床和岩脉。上盘向北的阿里秋剪切带定义了阿里秋穹隆的北界。白垩纪花岗石岩石及其母岩未变形或弱变形。

以往的石榴子石 Lu-Hf([Smit et al., 2012](#)),锆石、独居石和榍石 U/Th-Pb([Schmidt et al., 2011; Stübner et al., 2013b](#))、云母 Rb-Sr 和 Ar-Ar,锆石和磷灰石裂变径迹以及锆石(U-Th)/He([Hubbard et al., 1999; Stübner et al., 2013a](#))等地质热年代学地质年代学数据给出了沙赫达拉-阿里秋结晶岩石的大致出露过程:印度-欧亚大陆碰撞开始之后,从始新世至渐新世,地壳缩短,并发生区域混合岩化作用,以及随后(21~20 Ma)的近 SN 向伸展和剥蚀,伴随穹隆隆升。整个中新世得以维持,伸展流动持续从超固态(hypersolidus)向韧性(ductile)和脆-韧性条件发展,冷却年龄向穹隆中央向边界逐渐变年轻。穹隆事件最终在 $\sim 2$  Ma 结束。在此期间,穹隆剥蚀幅度达 $\sim 2$  km,局部甚至达到 4 km。 $\sim 2$  Ma 之后,地震震源机制解([Sippl et al., 2013](#))和构造现象([Stübner et al., 2013a](#))显示变形机制急剧转变为与 SN 向有关的走滑剪切和伴有活动裂谷作用的 EW 向伸展。

## 2 实验方法及样品描述

笔者对阿里秋穹隆核部花岗岩和侵位到韧性剪切带内的花岗岩 LA-MC-ICP-MS 锆石 U-Pb 年代学测定。样品的破碎和锆石挑选在河北廊坊地质服务有限公司完成。挑出锆石完成制靶后,进行投射光、反射光和阴极发光观察和照相,确定锆石成因分析和测年点位。阴极发光图像拍摄、锆石微量元素含量和 U-Pb 同位素定年在中国地质调查局西安地质调查中心自然资源部岩浆作用成矿与找矿重点实验室完成。对分析数据的离线处理(包括对样品和空白信号的选择、仪器灵敏度漂移校正、元素含量及 U-Th-Pb 同位素比值和年龄计算)采用软件 Glitter 4.4 ([Van Achterbergh et al., 2001](#))完成,详细仪器参数和测试过程可参考[李艳广等\(2015, 2023\)](#)。其中,测试

竖斑直径为 $24\text{ }\mu\text{m}$ 。U-Pb同位素定年中采用锆石标准91500作外标进行同位素分馏校正。对于与分析时间有关的U-Th-Pb同位素比值漂移,利用91500的变化采用线性内插的方式进行了校正。锆石样品的U-Pb年龄谱和图绘制和年龄权重平均计算均采用Isoplot/Ex\_ver 3 (Ludwig, 2003)完成。锆石微量元素含量利用参考标样NIST610玻璃作为多外标、Si作内标的方法进行定量计算。NIST610玻璃中元素含量的推荐值据GeoReM数据库(<http://georem.mpch-mainz.gwdg.de/>)。

锆石原位微区Hf同位素测试是在中国地质调查局西安地质调查中心自然资源部岩浆作用成矿与找矿重点实验室利用Neptune型多接收等离子体质谱仪和Geolas Pro型激光剥蚀系统联用的方法完成的,详细测试流程可参照Meng等(2014)和侯可军等(2007)。测试竖斑直径为 $32\text{ }\mu\text{m}$ ,激光剥蚀的样品气溶胶由氦气作为载气输送到质谱仪中进行测试,为了调节和提高仪器灵敏度,气路中间引入了氩气和少量氮气。所有测试位置与U-Pb定年点位相同或靠近。每分析

10个样品测点分析一组锆石标准样品作为监控,包括GJ-1、91500、Plesovice、MUN-1。实验中,GJ-1的测试精度为 $0.282\ 030\pm30(2\text{SE})$ ,91500的测试精度为 $0.282\ 286\pm30(2\text{SE})$ ,Plesovice的测试精度为 $0.282\ 482\pm30(2\text{SE})$ ,MUN-1的测试精度为 $0.282\ 135\pm30(2\text{SE})$ ,每分析10个样品测点分析一次锆石标准GJ-1作为监控;实验GJ-1的实际标样 $^{176}\text{Hf}/^{177}\text{Hf}$ 值为 $0.281\ 990\sim0.282\ 070$ ,应用测试过程中的所有标样值计算加权平均值,取 $1\sigma$ 计算。

样品NP03采自侵位到韧性剪切带中的花岗岩,野外观察仅发生微弱变形或未变形。该处围岩在苏联1:20万地质图(1962)标记为高级变质岩(混合岩),花岗岩未标识。样品NP04为于阿里秋穹隆核部岩体,未发生变性,中粒花岗岩,苏联1:20万地质图将该岩体标记为白垩纪。

阿里秋穹隆构造韧性剪切带样品(NP03)和穹隆核部样品(NP04)矿物组成相似,以长石(斜长石和钾长石,含量达60%~65%)和石英(20%~25%)为主,仅有少量的云母类矿物和副矿物(图2)。



A、C. 样品NP03野外露头和正交偏光显微照片; B、D. 样品NP04手标本(样品长度为13 cm)和正交偏光显微照片;

Qtz. 石英; Pl. 斜长石; Kfs. 碱性长石

图2 阿里秋穹隆花岗岩野外、手标本和显微照片

Fig. 2 Photographs of granitic rocks from the Alichur dome in the views of outcrop, hand specimen and rock section

### 3 研究结果

#### 3.1 LA-MC-ICP-MS 锆石 U-Pb 年龄

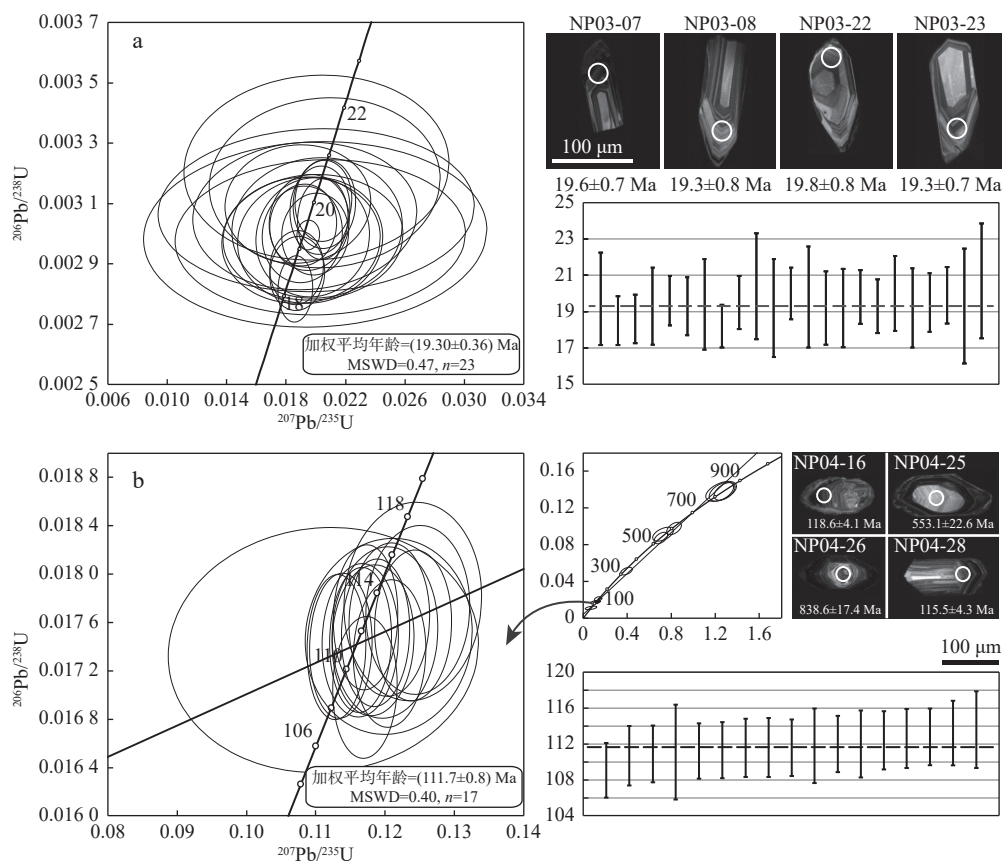
侵位到阿里秋韧性剪切带花岗岩样品 NP03 的锆石阴极发光图像显示, 锆石颗粒自形, 长柱状, 棱角清晰, 颗粒长度为 100~300 μm, 长宽比为 2:1~3:1 (图 3a)。共选取 23 个点位进行 U-Pb 同位素测试, 全部分析点均位于锆石边部的暗色韵律环带上。23 个分析点的  $^{206}\text{Pb}/^{238}\text{U}$  年龄为 18.8~20.7 Ma (表 1), 其年加权平均值为  $(9.3 \pm 0.3)\text{ Ma}$  ( $\text{MSWD}=0.47$ ), 代表阿里秋韧性剪切带内部花岗岩的最终结晶年龄。

样品 NP04 共选取 26 个点位进行 U-Pb 同位素测试, 大多数锆石发育核-幔-边结构, 核部和幔部为继承锆石, 核部色调较暗, 幔部形状不规则, 色调灰白; 边部宽度为 20~50 μm, 色调黑暗并显示密集的韵律生长环带, 表明为岩浆成因。少数锆石仅发育核-边结构, 核部色调较亮, 围绕核部发育具有韵律环带的暗

色生长边(图 3b)。17 个分析点均位于锆石边部的暗色韵律环带上, 其  $^{206}\text{Pb}/^{238}\text{U}$  年龄为 109.1~113.5 Ma (表 1), 年龄加权平均值为  $(111.7 \pm 0.8)\text{ Ma}$  ( $\text{MSWD}=0.40$ ), 代表阿里秋穹隆核部花岗岩的最终结晶年龄。另外 3 个位于环带上的测试点年龄分别为 71.3 Ma、132.2 Ma 和 134.2 Ma, 与上述年龄值存在显著差别, 未采用于计算加权平均值。样品 NP04 核部 6 个测试点获得的年龄分别为 321.8 Ma、541.7 Ma、553.1 Ma、610.8 Ma、826.6 Ma 和 838.6 Ma, 显著早于锆石边缘、环带测试结果。

#### 3.2 Hf 同位素特征

样品 NP03 中 23 个点全部位于岩浆锆石环带中。Hf 同位素初始比值  $^{176}\text{Hf}/^{177}\text{Hf}$  值为 0.282 585~0.282 753,  $^{176}\text{Lu}/^{177}\text{Hf}$  值为 0.000 336~0.001 179,  $\varepsilon_{\text{Hf}}(t)$  值为, 加权平均值为 -6.2~-0.2; Hf 的亏损地幔两阶段模式年龄  $T_{\text{DM1}}$  值为 698~933 Ma, 平均值为 825 Ma;  $T_{\text{DM2}}$  值为 1 114~1 493 Ma, 加权平均年龄为 1 315 Ma (表 2)。



a. 样品 NP03 锆石年龄与 CL 图像; b. NP04 锆石年龄与 CL 图像; CL 图像束斑直径为 24 μm

图3 阿里秋穹隆花岗岩代表性锆石 CL 图像、U-Pb 年龄谐和图和年龄分布

Fig. 3 CL images of representative zircons and zircon U-Pb concordia diagram of granitic rocks from the Alichur dome





样品NP04中17个点位于锆石震荡环带内的有效测试点和6个位于核部继承锆石的测试点总共23个点。样品NP04边缘锆石17个测试点Hf同位素初始比值 $^{176}\text{Hf}/^{177}\text{Hf}$ 值为0.281 634~0.282 494,  $^{176}\text{Lu}/^{177}\text{Hf}$ 值为0.000 422~0.002 021。 $\epsilon\text{Hf}(t)$ 值为-37.8~-7.5, 平均值为-14.0。Hf同位素 $T_{\text{DM2}}$ 为1 643~3 541 Ma。

样品NP04核部锆石6个测试点Hf同位素初始比值 $^{176}\text{Hf}/^{177}\text{Hf}$ 值为0.281 814~0.282 477,  $^{176}\text{Lu}/^{177}\text{Hf}$ 值为0.000 373~0.002 021。 $\epsilon\text{Hf}(t)$ 值为-16.1~4.7, 范围较大。Hf同位素 $T_{\text{DM2}}$ 值为1 243~2 721 Ma。

## 4 讨论

### 4.1 阿里秋穹隆两期花岗岩侵位年龄

Schwab等(2004)曾对帕米尔和西藏地区的岩浆作用进行过全面的年代学和物质来源研究, 白垩纪中、晚期岩浆作用反映的是沿科西斯坦-拉达克岛弧以北什约克(Shyok)缝合带卡拉库姆板块增生和平缓板块俯冲在亚洲板块导致的岩浆活动。实际上, 蒂里奇米尔(Tirich Mir)-喀喇昆仑-冈底斯(拉萨地体部分)一带白垩纪花岗岩锆石核也分别反映出~1624 Ma、902 Ma、417 Ma、355 Ma、196 Ma、158 Ma等年龄; 锆石边部和多边形、自形锆石年龄值为126~102 Ma, 加权平均年龄为(118.6±3.6)Ma。

结合Alichur穹隆隆升过程, NP03样品19.3 Ma年龄指示为帕米尔从始新世至渐新世, 地壳缩短, 并发生的减压熔融过程; 而NP04得出的(111.7±0.8)Ma年龄, 则是早白垩世地壳熔融作用的结果。

### 4.2 阿里秋穹隆两期花岗岩的物源特征

中新世浅色花岗岩样品NP03的 $\epsilon_{\text{Hf}}(t)$ 值(-6.2~-0.2),  $\epsilon_{\text{Hf}}(t)$ 值和较年轻的模式年龄暗示该期花岗岩的源区可能为核部片麻岩的重熔(图4)。而早期的白垩世侵位的花岗岩样品NP04具有更低的 $\epsilon_{\text{Hf}}(t)$ 值(-37.8~-7.5), 指示早白垩世花岗岩来源于古老地壳物质的熔融(图4)。

### 4.3 对构造背景的指示意义

吴福元等(2015)根据目前已发表的年龄数据, 勾画了喜马拉雅新生代淡色花岗岩的年代格架, 大致划分为始喜马拉雅阶段(Eo-Himalayan: 44~26 Ma)、新喜马拉雅阶段(Neo-Himalayan: 26~13 Ma)和后喜马拉雅阶段(Post-Himalayan: 13~7 Ma)。以上3个时期的花岗岩最显著的区别在于受造山带内不同构造的

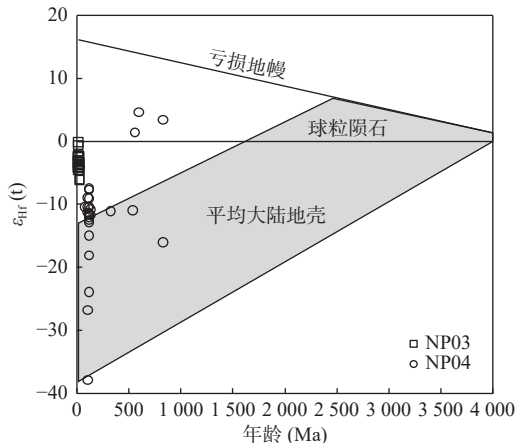


图4 阿里秋穹隆花岗岩样品锆石 $\epsilon_{\text{Hf}}(t)$ 图解

Fig. 4  $\epsilon\text{Hf}-t$  diagram of granitic rocks from the Alichur dome

控制: 始喜马拉雅阶段的花岗岩多分布于特提斯喜马拉雅带(THS)中部的北喜马拉雅片麻岩穹隆带(NHGD)核部, 新喜马拉雅阶段的淡色花岗岩主要沿藏南拆离系(STDS)分布, 而后喜马拉雅阶段的花岗岩受控于南北向裂谷(NSTR)。阿里秋弱变形花岗岩锆石U-Pb年龄为(19.3±0.3)Ma(MSWD=0.47), 且岩体沿阿里秋北部韧性剪切带分布, 时代与上述划分方案中的新喜马拉雅阶段相当, 暗示帕米尔在这一时期处于与藏南拆离系相似的构造地质特征。就中帕米尔和南帕米尔地区而言, ~20 Ma是由进变质作用向退变质作用演化的转折点(Smit et al., 2014)。此外, 包括帕米尔和北喜马拉雅同时变质作用的观点也有助于解释南帕米尔与藏南拆离系在~20 Ma或26~13 Ma之间经历相似的构造、变质事件。喜马拉雅淡色花岗岩第一阶段对应印度-亚洲汇聚而导致的大陆碰撞造山作用, 后两个阶段同加厚的喜马拉雅-青藏高原碰撞造山带拆沉作用有关, 对应青藏高原的全面隆升(吴福元等, 2015)。同时, 需要注意二者之间的显著差别。自印度板块与欧亚大陆碰撞以来, 帕米尔所处的构造结与喜马拉雅地区为代表的碰撞俯冲带主体在地貌、地壳变形和剥露层位之间差别显著。西藏为高海拔平原而帕米尔山区为高起伏; 垂直俯冲碰撞带方向, 青藏高原缩短量南北向缩短量为19%~28%, 而帕米尔缩短量达55%~64%(Schmidt et al., 2011); 二者出露不同层位的地壳, 西藏出露中生代—新生代地壳沉积岩, 而帕米尔则为遭受新生代变质作用的中下地壳结晶岩(Yin et al., 2000; Schmidt et al., 2011)。

## 5 结论

(1) 南帕米尔阿里秋穹窿主体花岗岩由早白垩世侵位，并在始新世至渐新世期间受SN向伸展构造控制进一步抬升至地表，并有地壳熔融作用产生的花岗岩侵位到剪切带内。

(2) 结合印度-欧亚大陆碰撞相关岩浆作用分析，阿里秋弱变形花岗岩时带上与13~26 Ma之间的新喜马拉雅阶段相当，对应碰撞造山带的伸展阶段。

致谢：塔吉克斯坦地质总局和霍罗格大学同事在野外工作期间的协助，感谢长安大学王盟教授和中国地质调查局西安地质调查中心陈博副研究员在数据处理方面提供的帮助。

## 参考文献(References):

- 范堡程, 孟广路, 刘明义, 等. 塔吉克斯坦成矿单元划分及其特征[J]. 地质科技情报, 2017, 36(2): 168–175.
- FAN Baocheng, MENG Guanglu, LIU Mingyi, et al. Division and Features of the Metallogenic Units in Tajikistan[J]. Geological Science and Technology Information, 2017, 36(2): 168–175.
- 范堡程, 张晶, 孟广路, 等. 帕米尔构造结锂矿资源潜力评价——基于1:100万地球化学调查[J]. 西北地质, 2022, 55(1): 156–166.
- FAN Baocheng, ZHANG Jing, MENG Guanglu, et al. An Assessment of Lithium Resource Potentiability in Pamir Syntax: Based on 1: 1 million Scale of Geochemical Survey[J]. Northwestern Geology, 2022, 55(1): 156–166.
- 范堡程, 张晶, 孟广路, 等. 地球化学块体理论在塔吉克斯坦金资源潜力预测中的应用[J]. 西北地质, 2020, 53(1): 138–145.
- FAN Baocheng, ZHANG Jing, MENG Guanglu, et al. Application of Geochemical Blocks Theory in the Prediction of Gold Resource Potential in Tajikistan[J]. Northwestern Geology, 2020, 53(1): 138–145.
- 洪俊, 计文化, 张海迪, 等. 帕米尔地区穆尔尕布辉长岩-闪长岩的成因: 钨石U-Pb年龄、Hf同位素及岩石地球化学证据[J]. 中国地质, 2017, 44(4): 722–736.
- HONG Jun, JI Wenhua, ZHANG Haidi, et al. Petrogenesis of Mur-gab gabbro-diorite from Pamir: Evidence from zircon U-Pb dating, Hf isotopes and lithogeochemistry[J]. *Geology in China*, 2017, 44(4): 722–736.
- 侯可军, 李延河, 邹天人, 等. LA-MC-ICP-MS 钨石Hf同位素的分析方法及地质应用[J]. 岩石学报, 2007, 23(10): 2595–2604.
- HOU Kejun, LI Yanhe, ZOU Tianren, et al. Laser ablation-MC-ICP-MS technique for Hf isotope microanalysis of zircon and its geological applications[J]. *Acta Petrologica Sinica*, 2007, 23(10): 2595–2604.
- 李艳广, 汪双双, 刘民武, 等. 斜锆石LA-ICP-MS U-Pb定年方法及应用[J]. 地质学报, 2015, 89(12): 2400–2418.
- LI Yanguang, WANG Shuangshuang, LIU Minwu, et al. U-Pb Dating Study of Baddeleyite by LA-ICP-MS: Technique and Application[J]. *Acta Geologica Sinica*, 2015, 89(12): 2400–2418.
- 李艳广, 靳梦琪, 汪双双, 等. LA-ICP-MS U-Pb定年技术相关问题探讨[J]. 西北地质, 2023, 56(4): 274–282.
- LI Yanguang, JIN Mengqi, WANG Shuangshuang, et al. Exploration of Issues Related to the LA-ICP-MS U-Pb Dating Technique [J]. *Northwestern Geology*, 2023, 56(4): 274–282.
- 吕鹏瑞, 姚文光, 张辉善, 等. 巴基斯坦及中国邻区构造单元划分及其演化[J]. 西北地质, 2017, 50(3): 126–139.
- LÜ Pengrui, YAO Wenguang, ZHANG Huishan, et al. Tectonic Unit Division and Geological Evolution of Pakistan and Its Adjacent Regions[J]. *Northwestern Geology*, 2017, 50(3): 126–139.
- 吴福元, 刘志超, 刘小驰, 等. 喜马拉雅淡色花岗岩[J]. 岩石学报, 2015, 31(1): 1–36.
- WU Fuyuan, LIU Zhichao, LIU Xiaochi, et al. Himalayan leucogranite: Petrogenesis and implications to orogenesis and plateau uplift[J]. *Acta Petrologica Sinica*, 2015, 31(1): 1–36.
- 张海迪, 吕鹏瑞, 罗彦军, 等. 塔吉克斯坦帕米尔地区构造单元划分及其特征[J]. 地质与勘探, 2019, 55(01): 135–144.
- ZHANG Haidi, LÜ Pengrui, LUO Yanjun, et al. Tectonic Unit Division of the Pamir Area in Tajikistan and its Geological Characteristics[J]. *Geology and Exploration*, 2019, 55(01): 135–144.
- Blichert-Toft J, Albarède F. The Lu-Hf Isotope Geochemistry of Chondrites and the Evolution of the Mantle-Crust System[J]. *Earth and Planetary Science Letters*, 1997, 148(1–2): 243–258.
- Griffin W L, Pearson N J, Belousova E A, et al. The Hf isotope composition of cratonic mantle: LA-ICPMS analysis of zircon megacrysts in kimberlites[J]. *Geochimica et Cosmochimica Acta*, 2000, 64, 133–147.
- Hubbard M S, Grew E S, Hodges K V, et al. Neogene cooling and exhumation of upper-amphibolite facies “whiteschists” in the southwest Pamir Mountains, Tajikistan[J]. *Tectonophysics*, 1999, 305: 325–337.
- Meng E, Liu F L, Liu P H, et al. Petrogenesis and tectonic significance of Paleoproterozoic meta-mafic rocks from central Liaodong Peninsula, northeast China: Evidence from zircon U-Pb dating and in situ Lu-Hf isotopes, and whole-rock geochem-

- istry[J]. *Precambrian Research*, 2014, 247: 92–109.
- Ludwig K R. ISOPLOT 3.0: A Geochronological Toolkit for Microsoft Excel[A]. Berkeley Geochronology Center, California, Berkeley, 2003.
- Schmidt J, Hacker B R, Ratschbacher L, et al. Cenozoic deep crust in the Pamir [J]. *Earth and Planetary Science Letters*, 2011, 312, 411–421. doi: [10.1016/j.epsl.2011.10.034](https://doi.org/10.1016/j.epsl.2011.10.034).
- Schwab M, et al. (2004), Assembly of the Pamirs: Age and origin of magmatic belts from the southern Tien Shan to the southern Pamirs and their relation to Tibet. [J] *Tectonics*, 23, TC4002. doi:[10.1029/2003TC001583](https://doi.org/10.1029/2003TC001583).
- Sippl C, Schurr B, Tympel J, et al. Geometry of the Pamir–Hindu Kush intermediate-depth earthquakes zone from local seismic data[J]. *Journal of Geophysical Research-Atmospheres*, 2013, 118, 1438–1457.
- Smit M A, Hacker B R, Ratschbacher L. Lu–Hf geochronology constrains slow burial of crust in active orogens: The Pamir gneiss domes[A]. European Mineral Conference, 2012, 1, EMC2012-706.
- Smit M A, Ratschbacher L, Kooijman E, et al. Arly evolution of the Pamir deep crust from Lu-Hf and U-Pb geochronology and garnet thermometry[J]. *Geology*, 2014, 42(12): 1047–1050.
- Stübner K, Ratschbacher L, Rutte D, et al. The giant Shakhdaramigmatitic gneiss dome, Pamir, India–Asia collision zone: 1. Geometry and kinematics[J]. *Tectonics*, 2013a, 32: 948–979.
- Stübner K, Ratschbacher L, Weise C, et al. The giant Shakhdaramigmatitic gneiss dome, Pamir, India–Asia collision zone: 2 Timing of dome formation[J]. *Tectonics*, 2013b, 32: 1401–1431.
- Tapponnier P, Mattauer M, Proust F, et al. Mesozoic ophiolites, sutures, and large-scale tectonic movements in Afghanistan[J]. *Earth and Planetary Science Letters*, 1981, 52: 355–371.
- Yin A, Harrison T M. Geologic evolution of the Himalayan–Tibet orogen [J]. *Annual Review of Earth and Planetary Sciences*, 2000, 28, 211–280.
- Van Achterbergh E, Ryan C G, Jackson S E, et al. Data reduction software for LA-ICP-MS[A]. In: Sylvester P J (Ed.). *Laser-Ablation-ICP MS in the Earth Sciences: Principles and Applications*[M]. Mineralogical Society of Canada Short Course Series 29, 2001: 239–243.